

The First International Conference on
COMPUTERS AND APPLICATIONS

第一届国际计算机及其应用会议



中国电子学会电子计算机学会

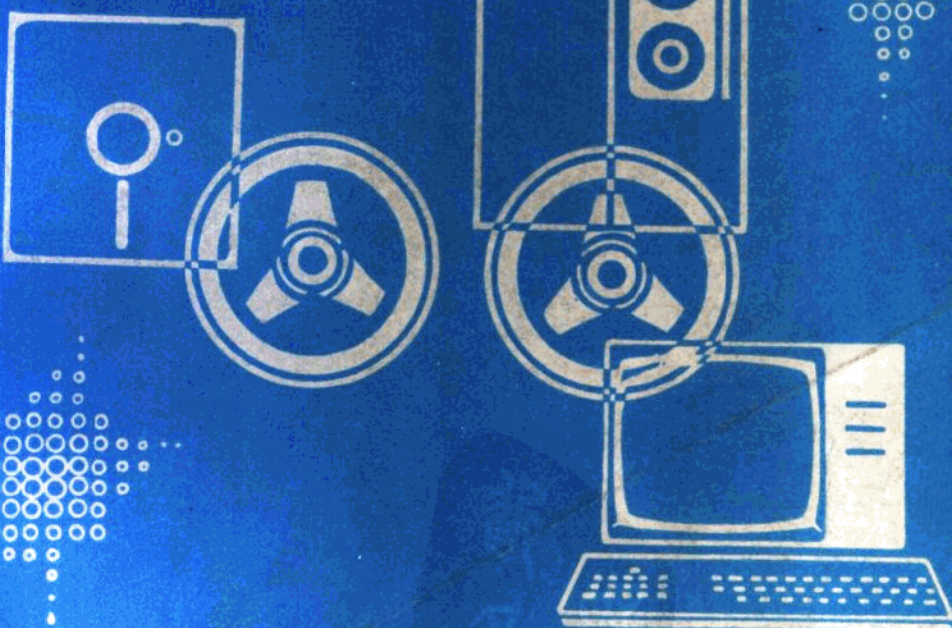
CIE COMPUTER SOCIETY



美国电气电子工程师学会计算机学会

IEEE COMPUTER SOCIETY

论文集



西南地区计算机协会

四川省电子学会电子计算机专业委员会

中国科学院成都计算机应用研究所

目 录

会场 7 A：集成电路的设计和试验

- | | |
|-----------------------------------|------|
| 1、一个存储区时间最优系统网络的离散付氏变换..... | (1) |
| C.-N.Zhang D.Y.Y.Yun | |
| 2、二进制加法用的格网连接的 VLSI 设计 | (12) |
| C.N.Zhang, M.J.Irwin | |

会场 7 B：办公室信息系统Ⅲ

- | | |
|---|------|
| 1、用软件工具处理日文文本文件的经验..... | (23) |
| N.Fujimura, K.Ushijima | |
| 2、新的多项高速文本检索算法..... | (33) |
| G.Kowalski, A.Meltzer | |
| 3、交互式事件处理系统..... | (50) |
| R.Bertocchi V.DeAntonellis | |
| X.W.Zhang | |
| 4、基于存取控制模型的办公室信息系统能力..... | (74) |
| A.Lomanto, G.Perego, | |
| F.Sirovich | |

会场 7 C：图象处理 I

- | | |
|----------------------------------|-------|
| 1、用霍太林 (Hotelling) 变换进行图象对准..... | (86) |
| 宣国荣, T.W.Sze | |
| 2、景象匹配算法..... | (101) |
| 顾本源 T.N.Saadawi, | |
| G.Eichmann | |
| 3、用弦长分布作形状匹配的性能评价..... | (113) |
| 游志胜 Anil K.Jain | |
| 4、在动态景物分析中利用特征点..... | (129) |
| W.N.Martin, J.K.Aggarwal | |

会场 8 A：分布式处理 II

- | | |
|-------------------------------|-------|
| 1、EPM2I 互连函数和 S U S 互连网络..... | (140) |
| 孙成政 | |

- 2、用于分布式计算系统的光纤通信网(10一网) (150)
 S.Tsunoda, S.Mutuda
- 3、多级立方体网络中的 4×4 交换单元的使用 (167)
 G.B.Adams III, H.J.Siegel
- 4、计算机终端可靠性价格比的优化 (185)
 H.L.Huang P.S.Huang

会场 8 B: 数据库系统Ⅲ

- 1、在分布式数据库系统中利用“以前值”的并行控制算法的性能评价 (195)
 谢立 D.J.Rosenkrantz
- 2、一种基于进程的数据流数据库机(PDDM) (213)
 何渐贵
- 3、论全分布式数据库系统的容错性和一致性 (229)
 S.H.Hosseini, J.G.Kubl,
 S.M.Reddy

会场 8 C: 软件及方法学Ⅳ

- 1、关于COBOL环境中软件复杂性度量的关系 N.C.Debath (250)
- 2、REP表达式的规范形式及化简 (266)
 郭福顺 罗友军 谢渊泓
- 3、NP——完全性与限制性分析 (278)
 张国强
- 4、二元四进制函数权的权举 (285)
 W.A.Mahmoud, L.A.M.Bennett

会场 9 A: 局部网络 I

- 1、局部网络的应用与结构问题 (295)
 G.P.Rossi A.Mattasoglio
- 2、Sohio研究计算机网络 (295)
 R.Beach, R.Lake, D.Pessel
- 3、局部网络中的分布查询处理 (305)
 吴钦琦 姚诗斌 葛人飞 许云涛
- 4、用于过程控制的MODIAC局部通信网络 (313)
 A.Faro, A.Serra,
 A.Valenzano, L.Vita

会场 9 B: 计算机制图Ⅲ

- 1、一类二次曲线的生成 (337)

顾景文

- 2、利用灭点从线型图推导三维形体 (346)
H. Nakatani, T. Kitahashi
- 3、具有高级图形功能的图形显示样机 (357)
倪光南 M. Wein, P. Tanner, G. Bechthold
- 4、用于飞行模拟的计算机成象的进展 (367)
J. K. Yan

会场9C：设计计算机及子系统Ⅱ

- 1、一种基于三值电路的FT-TSC-FS二值数字系统 (381)
胡 谋
- 2、SPAN：用于加法器网络的综合程序 (390)
H. Kobayashi, T. A. Smith
- 3、一个除数为 $2^n (2^n \pm 1)$ 的快速除法 (401)
慈云桂 杨晓东 王兵山
- 4、区间运算在科学计算中的应用 (408)
S. M. Rump

会场10A：集成电路设计及试验Ⅱ

- 1、可编程序逻辑阵列的完全测试集的生成 (430)
闵应骅
- 2、LSI/VLSI电路的系统内可测试性的最小额外消耗设计 (440)
F. F. Tsui
- 3、穷举逻辑测试和自检 (457)
D. T. Tang
- 4、主路径敏化法及其实现 (470)
魏道政 林向东

会场10B：数据库系统Ⅳ

- 1、二叉树的线性表示法——位串 (477)
汤南华
- 2、一个分级数据库管理系统 (492)
曹德和 R. T. Yeh, N. Roussopoulos
- 3、一个具有动态模型和控制功能的数据/行动管理系统 (507)
M. A. Melkanoff, 陈其明
- 4、图形数据库的图形编码技术 (532)
C. C. Yang, S. K. Chang

会场10C：软件方法学Ⅴ

- 1、实现应用软件再使用的Kongsberg方法 (549)

J.T.Pedersen

- 2、系统设计方法..... (559)
R.—S.Wang
3、随机树文法与并行分析算法..... (574)
S.X.Han, K.S.Fu
4、借助于文件编制方法学的系统设计特征..... (599)
D.F.Utter

会场11A：局部网络Ⅱ

- 1、异种局部地区网的互连问题..... (607)
范之刚
2、高性能的容错局部网络..... (618)
A.C.Weaver
3、一种多语种（英语和汉语拼音）以Forth为基础的数据采集网络..... (628)
N.A.Klein, D.L.Toppen
4、广播式信道的测定CSMA技术..... (638)
王行刚、黄庭兴

会场11B：计算机应用Ⅳ

- 1、理解汉语谐音的计算机智能系统..... (648)
Y.H.Pao, C.S.Yang
2、线性及非线性函数方程组的求解..... (661)
孙永强 叶志江 叶祖尧
3、解决优化问题的交互式图形软件系统CDISOPT，一个应用程序包 (680)
A.I.Alexanin M.F.Ivanov
A.V.Kazansky V.L.Perchuk
4、具有学习功能的平面几何定理证明系统..... (689)
徐立本 陈建华 杨林

会场11C：图象处理

- 1、应用纹理特征进行计算机自动图象分类..... (701)
王成业 龚晓
2、离散二进制图像的减薄算法..... (720)
(S.Zhang, K.S.Fu)
3、用于机器人避免碰撞的多摄像机脱架系统实时三维视觉..... (732)
(J.Y.S.Luh, J.A.Klaasen)
4、用自适应区域卡尔曼滤波器作图象恢复..... (750)
(P.Liang, T.W.Sze)

一个存储区时间最优系统网络的 离散付氏变换

Chang-nian Zhang, David Y.Y. Yun (Department of Computer Science and Engineering Southern Methodist University Dallas, Texas 75275)

译校 何荣禄 刘甫迎

摘要：本文是在VLSI (Very Large Scale Integration 超大规模集成电路) 中已经考虑过的离散付氏变换 (简记 DFT) 的计算问题，它提供的网络是建立在管线设计和具有正规网格结构基础上的。网络的控制流程和数据是单一而正规的，作为与最小增值因子相匹配的网络，在系统数组的计算模型中，已知理论的 $O(n^2)$ 的最低限 (存储区 \times 时间²) 的度量是复杂的。

1、引言

一个n——点离散付氏变换 (DFT) 问题定义如下：

已知 $(a_0, a_1, \dots, a_{n-1})$

$$\text{由 } y_n = \sum_{j=0}^{n-1} a_j e^{-j\omega n}$$

限定 $(y_0, y_1, \dots, y_{n-1})$ 的计算，其中 ω 是一个n度单根。

用著名的快速付氏变换法 (FFT) 在 $O(n \log n)$ 操作中计算一个n——点 DFT。但是，作为类似的处理，引用正移 (从左向右移) 交换网络，最常见的设计是在 $O(n \log n)$ 时刻取基片存储区为 $A = O(n^2 / \log n)$ 。最近 Francop, preparata [2] 叙述了一个，其中 $A = O(n^2)$ 的离散付氏变换的最佳网络。看来理论上的兴趣是主要的。那样的网络对工艺和应用的当前状态而言，可能出现不希望的特征，而数据和控制流程也是复杂的。

本文的目的是想说明把这样为计算 DFT 的系统网络当成均匀而微小长度线的正方

网格结构实际上是可行的，这里，计算的时间 $T = O(n^{1/2})$ 存储区为 $A = O(n)$ ，除管型设计外，这个网络特性具有下列主要优点：

- 1、在这个网络中基本单元的型式不多。
 - 2、网络的数据和控制流程单一而正规。
 - 3、这个网络能推广到管状输送和多道处理方面的应用。
 - 4、这个网络可完成每个输入和中间数据的多功能的用途。
 - 5、内部通讯单元依附的局部性质对系统数组而言是事前规定的。
- 因此，这个网络作为在VLSI中的设计更加适合。

2. 网状网络的DFT

设 $n = m^2$ ， n ——点 DFT 能够作为矩阵——向量相乘的观点来运算，其中矩阵是 n 阶单位原根 ω 为权的范达蒙 (Van der Mande) 矩阵。这种思想已在 [3] 中被利用过。我们的方法是作为下列两种思想的简单结合：

1、向量 $(a_0, a_1, \dots, a_{n-1})$ 的 DFT $(y_0, y_1, \dots, y_{n-1})$ 能当成平面 DFT 而得到，只要把阶为 $m \times m$ 矩阵 $A = [a_{ij}]$ ，其中 $a_{ij} = a_{m(i+j)}$ ($j \leq m$) (注意：下标宁可从 0 开始而不从 1 开始) 看作以行为主的向量排列就可以了。

$$\begin{aligned} y_{m(i+s)} &= \sum_{ij} a_{ij} \omega^{(m(i+s))} \\ &= \sum_{j=0}^{m-1} (\omega^m)^{i+j} \left(\omega^{si} \left(\sum_{i=0}^{m-1} a_{ij} (\omega^m)^{is} \right) \right) \end{aligned}$$

因此， y_{rs} 能由下列算法进行运算。

$$(1) \quad y'_{r,i} \leftarrow \sum_{j=0}^{m-1} a_{ij} (\omega^m)^{is} \quad (\text{矩阵的每列的 DFT})$$

$$(2) \quad y''_{r,i} \leftarrow (\omega^{ri}) y'_{r,i} \quad (\text{局部积})$$

$$(3) \quad y''_{r,i} \leftarrow \sum_{j=0}^{m-1} y''_{r,j} (\omega^m)^{ji}$$

(矩阵每行的 DFT)

2、 $m-1$ 个单元数组的线性系统如 [1] 所述在 $O(m)$ 操作下可用 m 一点 DFT 来运算。

在 [1] 所述这个 DFT 的运算，现在的评议，认为是一般较恰当的方法。

Kung 的基本单元

图1所述基本单元在Kung 数组中的应用。

$$\begin{aligned} X_{out} &\leftarrow X_{in} \\ X_{out} &\leftarrow X_{in} - y_{in} + a \\ \text{或 } a &\leftarrow a^* \end{aligned}$$

线性系统数组

如图2所述的 $m - 1$ 个基本单元组成的全数组。

这个数组首先必须在适当单元中输入 a_1 作为开始。在 $0 (m)$ 时刻对管形样式中所有 y_{in} 都能计算。

现在我们叙述系统网络有关网格是由 DFT 法计算。

基本单元

基本执行单元是由作为 Kung 数组中一个相同基本单元组成而且记数器能移位，图 3 所述是基本单元。

$$\begin{aligned} a_{out} &\leftarrow a^* \quad a^* \leftarrow a_{in} \\ X_{out} &\leftarrow X_{in} \\ y_{out} &\leftarrow y_{in} X_{in} + a \\ \text{或 } a &\leftarrow a^* \end{aligned}$$

附加寄存器 a^* 是用来接受移位和存储 y_{in} 的，它是假设基本单元要一次循环去完成它的操作：

$$\begin{aligned} X_{out} &\leftarrow X_{in} \quad y_{out} \leftarrow X_{in} - y_{in} + a \\ a_{out} &\leftarrow a^* \quad a^* \leftarrow a_{in} \text{ 或 } a \leftarrow a^* \end{aligned}$$

网络

如在图4中所述，一个完全数组是由联接基本单元的 $0 (n)$ 网格组成。

首先，初始数据是并行载入 a_{in} 的寄存器，初始数据对列是倒序的。然后，在每列的 DFT 的并行运算应用类似于 Kung 线性系统的 DFT 数组的方法，这个数组的最底行

被用作去计算这些输出结果 y_{in} 的部分积，这些输出结果 y_{in} 并送到相应于图 4 中所显

示的行中。当计算 y_{in} 和 y_{in}'' 时， y_{in}'' 将通过右移进入到它自己的寄存器 a_{in}^* 内，

最后， y_{in}''' 将如计算列的 DFT 相同的办法去完成。

注意 ω 权的时序能如图 5 中所示的相同基本单元来执行，这里寄存器的初值是 0。在第一次循环时，开关 K_1 是闭合的而 K_2 是打开的。输出 (y_{out}) 是 1，在其余

循环时, K_1 是打开的而 K_2 是闭合的, 因而, 输出将是 ω^0 , ω^2 , ω^3 ,

一个实例

考虑 $n=4$ 的情况, 一个 4 点 DFT 的问题可以作为多项式 $a_3x^3 + a_2x^2 + a_1x^1 + a_0$ 在 $x = 1, \omega, \omega^2, \omega^3$ 时求值的观点来处理。对 $n=4$ 的情形, 图 6 所述是逐步地排列的(假设这时 a_{ij} 在基本单元中是有装载的)。

(1) 循环 $T=1$ [图 6(1)]

$$y'_{00} = a_{00} + a_{10}$$

$$y'_{01} = a_{01} + a_{11}$$

(2) 循环 $T=2$ [图 6(2)]

$$y''_{00} = y'_{00}$$

$$y''_{01} = y'_{01}$$

$$y'_{10} = a_{10}\omega^2 + a_{00}$$

$$y'_{11} = a_{11}\omega^3 + a_{01}$$

(3) 循环 $T=3$ [图 6(3)]

$$y''_{10} = y'_{10}$$

$$y''_{11} = y'_{11}\omega = a_{11}\omega^3 + a_{01}\omega$$

(4) 循环 $T=4$ [图 6(4)]

(5) 循环 $T=5$ [图 6(5)]

(6) 循环 $T=6$ [图 6(6)]

$$y''' = y''_{00} + y''_{01}$$

$$= y_0$$

$$y''' = y''_{10} = y''_{11}$$

$$= y_1$$

(7) 循环 $T=7$ [图 6(7)]

$$y_{01}''' = y_{00}'' + y_{11}'' \omega^2$$

$$= y_2$$

$$y_{11}''' = y_{10}'' + y_{01}'' \omega^2$$

$$= y_3$$

3、讨 论

a、到此时我们假设数据输送到系统网络的比率是 $O(n^{1/2})$ ，如果这是不可能的情形而且主机和网络之间的比率是 $O(k^{1/2})$ ， $K < n$ ，那末一个 n 点 DFT 问题的运算是 $O(n \log n / k^{1/2} \log k)$ 时刻由应用 $O(k)$ 存储区网络以 n 点 FFT 算法去计算所有 K 点子 DFT 而得到。这意味着一个 $O(K^{1/2} \log k)$ 的加速超过时序 FFT。

b、preparata, Vuillemin [4] 和 preparata [2] 提供了优化乘积类，它满足对 n 位操作数的已知理论限 $A_T^2 = O(N^2)$ 。

其基本思想是 DFT 的迭代直至实现乘积。关于 DFT 应用于系统网络，很易看出一个 $A = O(N)$ 的网络同样能达到在 $T = O(N^{1/2})$ 的性能，但是，享有一个简单得多的联络。

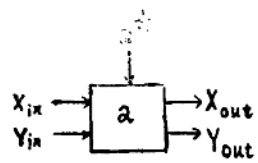


图 1 Kung 的基本单元

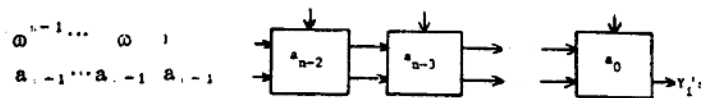


图 2 线性系统组

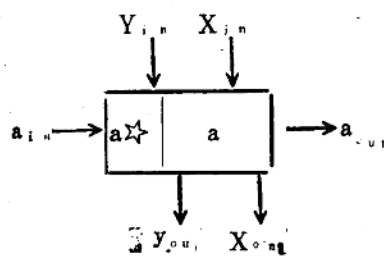


图 3 基本单元

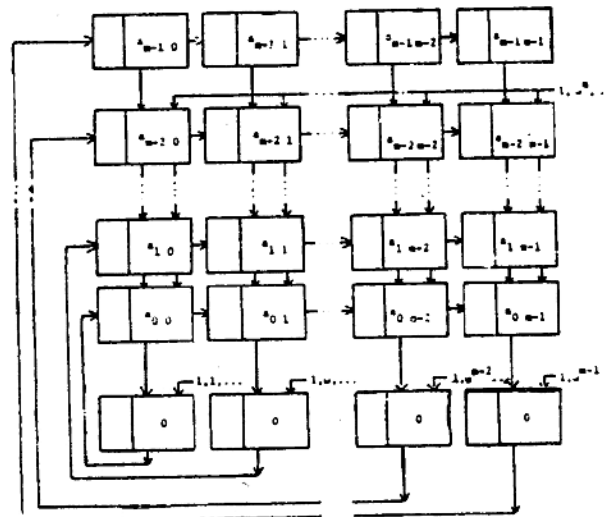


图 4 网格——相关数组

• • •

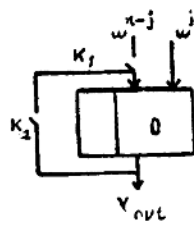
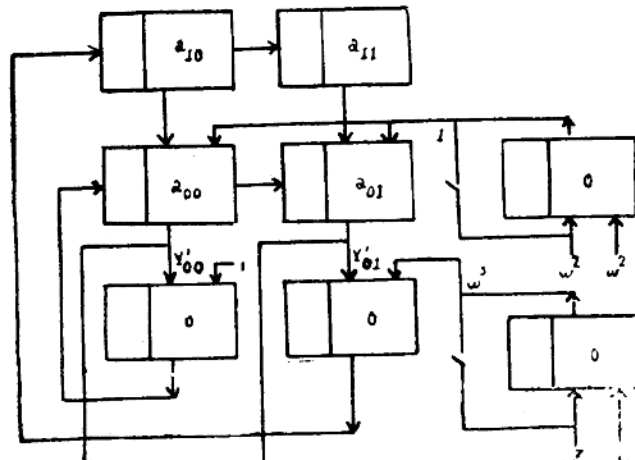
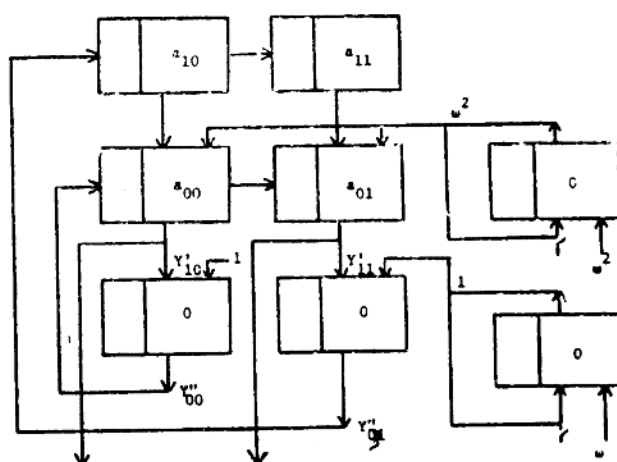


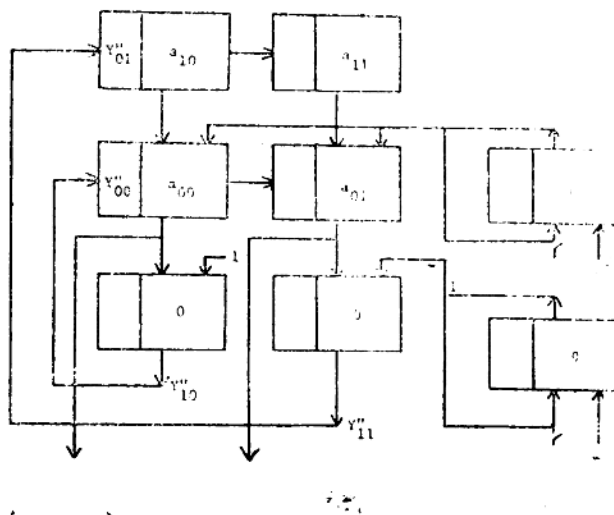
图 5。 ω 权的时序的单元



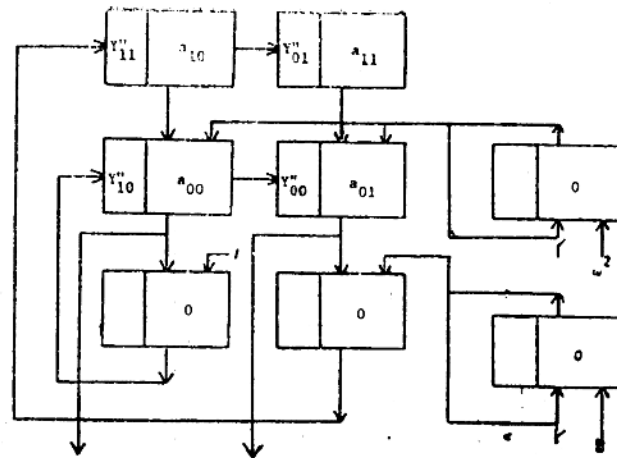
(1)



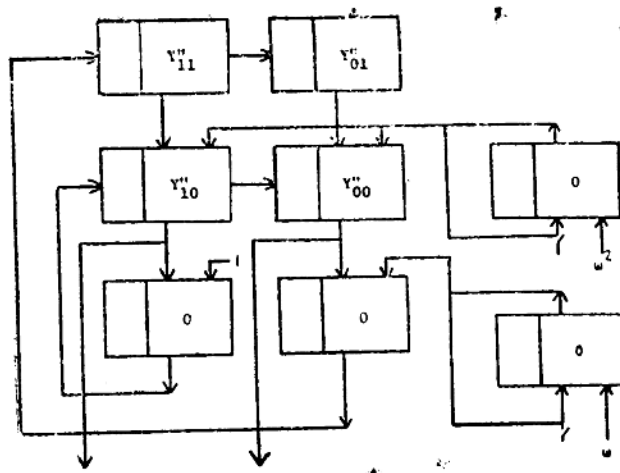
(2)



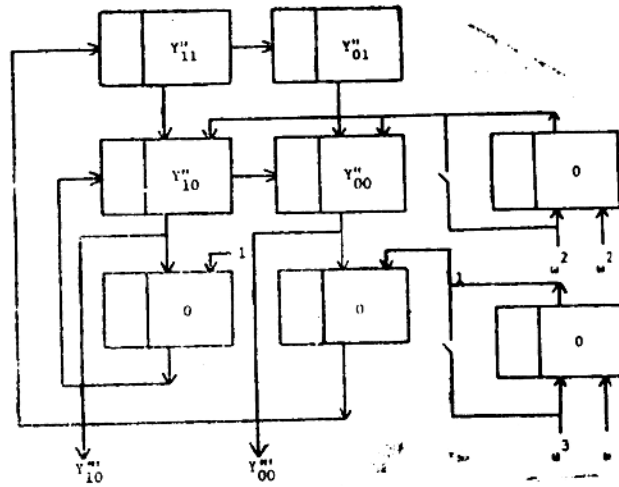
(3)



(4)



(5)



(6)

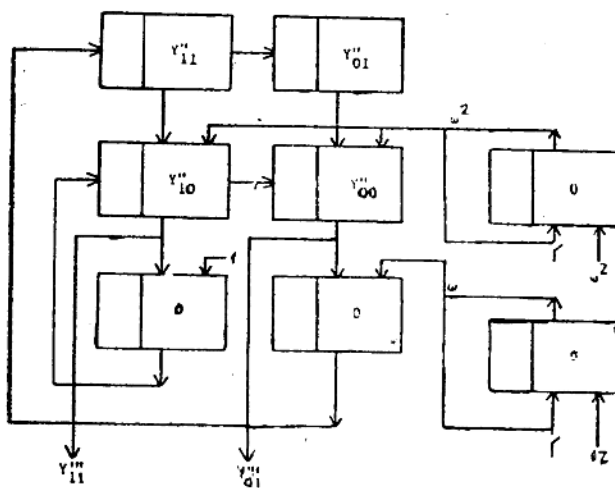


图 6 (7)

参 考 文 献

- [1] H.T.Kung, "Special-purpose devices for Signal and Image processing Opportunity in Very large Scale Integration (VLSI), " Real-Time Signal processing 111 (1980)
- [2] Franco P. Preparata, "A Mesh-Connected Area-Time Optimal VLSI Multiplier of Large Integers, " IEEE Transaction on Computers, Vol. C-32, No. 2, February 1983.
- [3] R.P.Brent and H.T.Kung, "The Chip Complexity of Binary Arithmetic, " J.ASS.Computing, March, Vol. 28, pp. 521-534, July 1981.
- [4] F.P.Preparata and J.Vuillemin, "Area-Time Optimal VLSI Networks for Computing Integer Multiplication and Discrete Fourier Transform, " Proc. ICALP, Haifa, Isrsel, July 1981, pp. 29-40.
- [5] D.Hoey and C.E.Leiserson, "A Layout for the Shuffle-Exchange Network, " proc. of 1980 International Conference on parallel processing, August 1980.
- [6] H.S.Stone, "parallel processing with the perfect Shuffle, " IEEE Trans. Computers, Vol. C-20, pp. 153-161, 1971.

(责任编辑 梁铭麟)

二进制加法用的格网连接 的VLSI设计

Chang nian Zhang

(Department of Computer Science &
Engineering
Southern Methodist University
Dallas, TX 75275)

M.J.Irwin

(Department of Computer Science
The Pennsylvania State
University
University Park, PA 16802)

译校 钱埙伯

摘要：本文叙述在VLSI内进行快速n位二进制加法的问题。特别是提出了几种供快速进位发生用的面积和时间效率高的结构。基于一个类总线阵列法讨论了线阵和格网连接的矩阵。

定义了这两种结构中所用的基本单元。指出这些进位发生结构需要 $O(n)$ 个这些基本单元，并在 $O(\log n)$ 时间内计算所有进位。格网连接的矩阵的控制线数目为 $O(n^{\frac{1}{2}})$ 。

引言

n位二进制加法问题定义如下：

给出

$a_n a_{n-1} \dots a_1$ 和 $b_n b_{n-1} \dots b_1$

计算

S_n, S_{n-1}, \dots, S_1